

Original article

Cooling stress hazard zoning on different rice (*Oryza sativa* L.) growth stages by using satellite data

Leila Sadooghi¹, Ali Akbar Noroozi^{2*}, Ali Mohammadi Torkashvand³, Ebrahim Pazira³

1. Ph.D.Student, Department of Soil Science, Science and Research Branch, Islamic Azad University, Tehran, Iran

2. Professor, Soil Conservation and Watershed Management Research Institute, Agricultural Research, Education and Extension Organization (AREEO), Tehran, Iran

3. Professor, Department of Soil Science, Science and Research Branch, Islamic Azad University, Tehran, Iran

Received 22 November 2023; Revised 25 February 2024; Accepted 11 March 2024

Extended abstract

Introduction

Cooling stress has led to irreparable damage to the paddy fields of Gilan province. Climate research has shown the prevalence of increasing climate-related hazards including frost, drought, hail, and flood. Environmental stresses, including frost, affect different rice growth stages and affect the morphological and physiological characteristics of rice. Cooling stress is a major risk to be managed and quantitative determination of cooling stress hazard is very serious in realizing the hazard and planning to reduce it. In developing countries such as Iran, meteorological stations are usually scattered. For this reason, they use sensors such as MODIS, that are free and available to help compensate for these deficiencies. Nowadays, remote sensing technology and satellite data provide an opportunity to achieve high-resolution data. Therefore, with the development of GIS and remote sensing, real-time cooling stress monitoring can be achieved in large areas. Also, we used interpolation models so scattered observations can be converted into continuous prediction maps of the entire study area. The objective of this research is to investigate the cooling stress hazard in different rice growth stages, using remote sensing technology and MODIS satellite images in Gilan province.

Materials and methods

In this research, the MOD11A1 product provides daily land surface temperature (LST) data used from the MODIS sensor, and the coordinates of meteorological stations in Gilan province and the required data from these stations during the statistical period from 2000 to 2017 were obtained from the Meteorological Department. The rice growth stage was determined based on the information and statistics of the province and using MODIS sensor images and according to the critical temperature limit below which the plant experiences cold stress.

Results and discussion

Cooling stress hazard zoning maps in ArcGIS software, according to the number of days when the cooling stress hazard in each of the plant growth stages (the germination, the seedling, the vegetative, and the reproductive stages) occurred in the region prepared. According to the root mean square error (RMSE) and coefficient of determination (R^2) obtained, among the different interpolation methods, In different rice growth stages, the IDW method was chosen to prepare the zoning map. Then, the hazard zoning map was prepared according to the cooling stress hazard classification for the rice crop in different plant

* Corresponding author: Ali Akbar Noroozi; E-Mail: noroozi.aa@gmail.com



© 2025, The Author(s). Published by University of Birjand. This is an open-access article distributed under the terms of the Creative Commons Attribution License (<https://creativecommons.org/licenses/by/4.0>).

growth stages between 2000 and 2017 using the IDW method. Five different classes of cooling stress hazard rice were considered as very low, low, medium, high, and very high.

Conclusion

Based on the cooling stress hazard zoning maps during the 17 years investigated in the studied area, in the germination, seedling, vegetative, and reproductive stages, it showed that the highest cooling stress hazard is related to the altitudes of 1000 to 2000 meters in the mountainous areas, and during the growth stage germination and reproductive, the amount of this hazard is very high and we should choose the appropriate date for the germination period and every as we get to the sea, the level of hazard in all growth stages, even in the growth stages of germination and reproductive, is low and very low.

Acknowledgments

We appreciate the Meteorological Department for providing the statistics weather of Gilan province.

Keywords: LST, MODIS, Rice field, Stress

پهنه‌بندی خطر سرمازدگی در مراحل مختلف رشد برنج (*Oryza sativa L.*) با استفاده از داده‌های ماهواره‌ای

لیلا صدوqi^۱, علی‌اکبر نوروزی^{۲*}, علی محمدی ترکاشوند^۳, ابراهیم پذیرا^۴

۱. دانشجوی دکتری فیزیک و حفاظت خاک، گروه خاک‌شناسی، واحد علوم و تحقیقات، دانشگاه آزاد اسلامی، تهران، ایران
۲. استاد پژوهشکده حفاظت خاک و آبخیزداری، سازمان تحقیقات آموزش و ترویج کشاورزی، تهران، ایران
۳. استاد گروه خاک‌شناسی، واحد علوم و تحقیقات، دانشگاه آزاد اسلامی، تهران، ایران
۴. استاد گروه خاک‌شناسی، واحد علوم و تحقیقات، دانشگاه آزاد اسلامی، تهران، ایران

چکیده

پدیده سرمازدگی منجر به خسارات جبران‌نایدیری به شالیزارهای استان گیلان می‌شود. در کشورهای در حال توسعه مانند ایران، استگاه‌های هواشناسی معمولاً پراکنده هستند به همین دلیل از سنجنده و حسگرهایی مانند MODIS که به صورت رایگان در دسترس هستند استفاده می‌کنند که کمک شایانی به کمبود توزیع استگاه‌های زمینی می‌کند. همچنین با استفاده از مدل‌های درون‌بابی، می‌توان مشاهدات پراکنده را به نقشه‌های پیش‌بینی پیوسته در کل منطقه موردمطالعه تبدیل کرد. هدف از انجام این پژوهش بررسی خطر سرمازدگی در مراحل مختلف رشد گیاه برنج با بهره‌گیری از فناوری سنجش از دور و تصاویر ماهواره MODIS در استان گیلان است. در این پژوهش از بین محصولات سنجنده مودیس (MODIS) از داده‌های دمای روزانه سطح زمین (LST) با کد MOD11A1 استفاده شد و مختصات استگاه‌های هواشناسی استان گیلان و داده‌های موردنیاز از این استگاه‌ها طی دوره آماری ۲۰۰۰ تا ۲۰۱۷ از اداره هواشناسی اخذ گردید. تعیین دوره رشد گیاه برنج بر اساس اطلاعات و آمار استان انجام شد و با استفاده از تصاویر سنجنده MODIS و با توجه به حد بحرانی دما که کمتر از آن گیاه دچار تنش سرما می‌شود، نقشه‌های پهنه‌بندی خطر سرمازدگی در نرم‌افزار ArcGIS IDW تهیه گردید. پنج نوع که خطر سرمازدگی در هر مرحله رشد گیاه در منطقه رخداده بود با روش درون‌بابی IDW تهیه گردید. کلاس متفاوت برای خطر سرمازدگی برنج تحت عنوان بسیار کم، متوسط، زیاد و بسیار زیاد در نظر گرفته شد. بر اساس نقشه‌های پهنه‌بندی خطر، رخداد سرمازدگی طی ۱۷ سال مورد بررسی قرار گرفت؛ و نشان داد که بیشترین خطر سرمازدگی در سطح کل استان مربوط به ارتفاعات ۱۰۰۰ تا ۲۰۰۰ متر بوده و در مرحله جوانه‌زنی و زایشی میزان این خطر زیاد و خیلی زیاد است و هر چه که دریا نزدیک‌تر می‌شویم میزان خطر در همه مراحل رشد حتی در مراحل جوانه‌زنی و زایشی کم و خیلی کم است.

مشخصات مقاله

واژه‌های کلیدی:

تنش

شالیزار

LST

MODIS

تاریخ دریافت: ۱۴۰۲/۰۹/۰۱

تاریخ بازنگری: ۱۴۰۲/۱۲/۰۶

تاریخ پذیرش: ۱۴۰۲/۱۲/۲۱

تاریخ انتشار:

بهار ۱۴۰۴

۱۵۷-۱۷۲: ۱۸(۱)

مقدمه

برنج (*Oryza sativa L.*) در حال حاضر یکی از اصلی‌ترین یک چالش مهم در افزایش راندمان محصولات کشاورزی، حساسیت آن‌ها به تغییرات آب‌وهایی از جمله دمای پایین و تنفس گرمایی است (Mosleh et al., 2015) که برای کاهش مخاطرات زیست‌محیطی و میزان خسارات وارد به محصولات کشاورزی، مدیریت ریسک کشاورزی را حائز اهمیت می‌نماید

برنج (*Oryza sativa L.*) در حال حاضر یکی از اصلی‌ترین غلات در جهان و غذای اصلی بیش از نیمی از جمعیت جهان، بهویژه کشورهای در حال توسعه آسیا است (Gharachorloo et al., 2019; Gross and Zhao, 2014; Saadat et al., 2019; Sarangi et al., 2016). مدل‌های پیش‌بینی آب‌وهای نشان می‌دهد که تنش‌های محیطی در آینده نزدیک به دلیل تغییرات آب‌وهایی جهانی افزایش خواهد یافت (Ahuja et al., 2019).

می‌کنند که شدت تنش به عواملی مانند دما، طول دوره، مرحله رشد و شرایط فیزیولوژیکی گیاه بستگی دارد. Becker et al., 2021; Chauhan et al., 2022; Ji et al., 2021 (al.). سالیانه حدود ۱۵ میلیون هکتار از شالیزارهای جهان در مراحل مختلف رشد از جمله جوانهزنی و مراحل رشد رویشی و زایشی دچار تنش سرما می‌شوند (Wang et al., 2009; Ye et al., 2019). در طول یک سال سرد تولید برنج ۲۰٪ کاهش می‌یابد (Liu et al., 2013)، صدمات سرمایی عموماً در دوره‌های بحرانی مانند مراحل جوانهزنی، رسیدگی و گلدهی رخ می‌دهد و باعث کاهش شدید عملکرد برنج می‌شود (Liu et al., 2013).

تنش سرما اغلب جوانهزنی و رشد گیاهچه برنج را مختل کرده و به تأخیر می‌اندازد و باعث استقرار ضعیف توده و بلوغ غیریکنواخت می‌شود (Ranawake et al., 2014). توسعه ارقام متتحمل به تنش سرما برای مدت طولانی یک هدف اصلاحی مهم در تولید برنج بوده است (Lakra et al., 2020; Pachecoy et al., 2014; Ranawake et al., 2014).

سرمازدگی یک نگرانی مهم مرتبط با آبوهوا برای تولیدکنندگان محصولات کشاورزی است (Lou et al., 2023; J. Xu et al., 2021a) بهویژه زمانی که رویدادهای سرمازدگی با دوره‌های حساس رشد محصول همزمان باشد؛ بنابراین کشاورزان به دنبال افزایش تولید از طریق ارزیابی دقیق ریسک سرمازدگی و مدیریت بهینه سرما هستند. با توجه به گرم شدن آبوهوا، ممکن است انتظار رود که ریسک خسارات سرمازدگی در آینده کاهش یابد بااین حال، گرم شدن آبوهوا باعث پیشرفت در رویدادهای فنولوژیکی مانند جوانهزن، برگریزی و گلدهی در بهار شده است و باعث کاهش مقاومت گیاهان به سرما می‌شود (Kimura et al., 2021).

امروزه، فناوری سنجش‌ازدور و داده‌های ماهواره‌ای فرصتی را برای دستیابی به داده‌هایی با وضوح بالا فراهم می‌کند که می‌تواند برای تعیین ریسک سرمازدگی مورد استفاده قرار گیرد (Emamifar et al., 2013; Singha and Sarmah, 2019). بسیاری از مجموعه داده‌های ماهواره‌ای برای استفاده رایگان هستند که هزینه‌ها را نیز کاهش می‌دهد (Xu et al., 2020). ایستگاه‌های هواشناسی معمولاً به صورت ناهموار و پراکنده توزیع می‌شوند و بیشتر در مناطق دشتی ایجاد شده‌اند. ایستگاه‌های هواشناسی که حتی

Gobbett et al., 2020; Saadat et al., 2019; Yue et al., 2016; Caldana et al., 2020

سرمازدگی یک خطر دائمی است که معمولاً باعث آسیب به محصولات کشاورزی می‌شود (Ji et al., 2021; Lagrini et al., 2020). در سال‌های اخیر بر اساس آمار و گزارش‌های صندوق بیمه محصولات کشاورزی با توجه به تغییرات اقلیمی، دوره سرما در اوایل بهار (بهویژه ماه فروردین) در استان‌های شمالی باعث خسارت سرمازدگی بر روی محصول برنج شده است (Ghorbani et al., 2011).

گیاه برنج در دمای زیر ۱۵ درجه سانتی‌گراد مستعد آسیب می‌شود (Kayess et al., 2020). به طور کلی، دمای پایین می‌تواند نرخ بقای محصول را کاهش دهد، فعالیت فتوسنتری را محدود کند، رشد را به تأخیر بیندازد و سنتز پروتئین‌ها، لیپیدها و کربوهیدرات‌ها را مسدود کند (Kayess et al., 2020) بهویژه در مراحل پنجه‌زنی، خوشدهی و گلدهی که به راحتی گیاه در اثر سرمازدگی آسیب می‌بیند (Liang et al., 2006). در معرض دمای پایین، فیزیولوژی محصول برنج مانند کاهش محتوای کلروفیل کل، محدودیت فعالیت فتوسنتری و استرس اکسیداتیو تغییر می‌کند. همچنین دمای پایین باعث صدمات جبران ناپذیری در برگ‌ها Kayess et al., 2020؛ مانند نکروز و کلروز می‌شود (Najeeb et al., 2021). در مرحله جوانهزنی در ارقام مختلف برنج، دمای پایین سبب کاهش درصد جوانهزنی می‌شود که خسارت سرما در این مرحله برای شالیکاران شمال Ghorbani (et al., 2011) کشور به عنوان یک مشکل مهم محسوب شود (et al., 2011). کاهش عملکرد به دلیل دمای پایین یک محدودیت عمده برای کشت برنج نه تنها در مناطق با عرض جغرافیایی بالا یا ارتفاعات بالا بلکه در کشورهای گرمسیری مانند فیلیپین و تایلند است (Cruz et al., 2013) و هرگونه نوسان در عملکرد برنج ناشی از مسائل آبوهوا کشاورزی، تأثیر مستقیمی بر امنیت غذایی خواهد داشت (Ji et al., 2021; Fallah et al., 2020). فلاخ و میارستمی (Lee, 1979) (and Miarostami, 2015) دمای بحرانی برای رقم‌های مختلف برنج در کره جنوبی را در مراحل مختلف رشد شامل جوانهزنی، گیاهچه‌ای، رویشی، زایشی، خوشدهی و رسیدن دانه به ترتیب ۱۷، ۱۵، ۱۳، ۱۰، ۱۷ و ۱۴ درجه سانتی‌گراد گزارش داد.

اکثر گونه‌های مختلف گیاهی از جمله برنج، معمولاً تنش سرما را در اوایل فصل بهار و یا در طول کشت پاییزه تجربه

توزیع خطر سرمازدگی مؤثر بودند. سوزوکی و همکاران (Suzuki et al., 2008) به بررسی آسیب سرمایی ریشه در برج پرداختند، آن‌ها دریافتند که در مرحله گیاهچه‌ای دما عامل بسیار مهمی در واکنش و حساسیت سطوح مختلف گیاه به تنش سرما است. در حوضه رودخانه یانگ تسه و جنوب چین، زیونگ و همکاران (Xiong et al., 2018) اثرات خشکسالی و سیل را بر عملکرد و خصوصیات فیزیولوژیکی برج موردمطالعه قرار دادند و مشخص شد که خشکسالی تأثیر بیشتری نسبت به سیل بر روی گیاه برج دارد. ریسک آسیب سرما برای مناطق کشت برج توسط چنگ و همکاران (Cheng et al., 2013) در استان ھونان، چین با استفاده از داده‌های سنجش‌از دور و داده‌های هواشناسی، ارزیابی شد. قربانی و همکاران (Ghorbani et al., 2011) در مطالعه خود به بررسی تنش سرما در دو رقم برج نعمت و آوند پرداختند که در تیمار ۱۰ درجه سانتی‌گراد رقم نعمت عملکرد پایین‌تری داشت و رقم آوند مقاوم‌تر و مناسب کشت در مناطقی که دمای پایین دارند بهویژه مناطق کوهستانی شناخته شد.

کروز و همکاران (Cruz et al., 2013) تنش سرما در برج را در دو مرحله گیاهچه‌ای و رسیدگی ارزیابی کردند و نشان دادند که در هر دو مرحله دمای پایین اثرات مضری بر عملکرد محصول دارد، در مرحله اول تعداد بوته‌های مستقر تحت تأثیر قرار می‌گیرد و در مرحله رسیدگی سرما باعث عقیمی و کاهش تعداد نهایی دانه‌ها خواهد شد.

در کشورهای درحال توسعه از جمله ایران، ایستگاه‌های هواشناسی معمولاً پراکنده هستند و از سوی دیگر حسگرهایی مانند MODIS به صورت رایگان در دسترس هستند که فرصت خوبی برای جبران این کمبودها است. همچنین مدل‌های درون‌یابی، ابزاری مهم برای تحلیل فضایی ویژگی‌های خاک است که می‌تواند مشاهدات پراکنده را به نقشه‌های پیش‌بینی پیوسته در کل منطقه موردمطالعه تبدیل کند. هدف از این مطالعه استفاده از سنجش‌از دور برای کاهش هزینه‌ها، افزایش دقت، سرعت و کمک به تخمین خطر سرمازدگی در مراحل مختلف رشد برج و تهیه نقشه پهنه‌بندی برای استان گیلان است و ارزیابی خطر سرمازدگی از طریق تولید نقشه‌های پهنه‌بندی خطر کمک به بهبود مدیریت، تصمیم‌گیری، برنامه‌ریزی و سیاست‌های کشاورزی می‌کند.

در مناطق مسطح به درستی توزیع نشده‌اند، اثرات جریان هوا، وارونگی حرارتی و سایر پدیده‌هایی را که بر الگوی آب و هوای تأثیر می‌گذارند، شناسایی می‌کنند (Ahmed et al., 2014)؛ بنابراین، با توسعه GIS و سنجش‌از دور، می‌توان به پایش سرمازدگی در زمان واقعی در مناطق وسیع دست یافت (Belal et al., 2014). علاوه بر این، روش‌های سنجش‌از دور برای پیش‌بینی تولید برج به دولتها، برنامه‌ریزان و تصمیم‌گیران کمک می‌کند تا سیاست‌های مناسب را تدوین کنند و یکی از مهم‌ترین موضوعات دست یافتن کاربر به راههای سریع، قابل اعتماد (دقیق) و کم‌هزینه‌تر برای برنامه‌ریزی کشاورزی و همچنین پیش‌بینی قبل از برداشت محصول است (Mosleh et al., 2015).

در سال‌های اخیر، سیستم‌های اطلاعات جغرافیایی (GIS) و سنجش از راه دور (RS) نقش کلیدی در مطالعه انواع مختلف خطرات طبیعی یا ساخته دست بشر ایفا کرده‌اند. مطالعات متعددی در سراسر جهان منتشر شده است تا نحوه به کارگیری تکنیک‌های سنجش‌از دور و GIS برای خطرات Arnous and Omar, (2018; Belal et al., 2014)

لامگرینی و همکاران (Lagrini et al., 2020) به نقشه‌برداری مناطق آسیب‌پذیر مراکش نسبت به اثرات دما با استفاده از سیستم اطلاعات جغرافیایی (GIS) پرداختند. نتایج نشان داد که ۷۸ درصد مراکش به عنوان مناطق غیر آسیب‌پذیر و ۱۹ درصد با آسیب‌پذیری متوسط نسبت به اثرات دما می‌باشند. مناطق باقی‌مانده با آسیب‌پذیری بالا تا شدید مشخص شدند. لی و همکاران (Li et al., 2018) به ارزیابی و تهیه نقشه پهنه‌بندی ریسک سرمازدگی چای با استفاده از GIS پرداختند. فلاخ و میارستمی (Fallah and Miarostami, 2015) به بررسی اثر تنش دمای پایین بر مراحل رشد و عملکرد برج در شرایط گلخانه‌ای پرداختند، این مطالعه نشان داد که در مرحله پنجه‌زنی تا ظهر خوش کاهش دما، باعث ایجاد بیشترین خسارت به دانه برج می‌شود. کریمپ (Crimp et al., 2015) با استفاده از مدل‌های درون‌یابی خطر سرمازدگی را برای کشاورزی در جنوب شرقی استرالیا، مورد بررسی قرار دادند. زو و همکاران (Xu et al., 2018) با استفاده از داده‌های هواشناسی ۵۰ ایستگاه در استان جیلین، چین و داده‌های سنجش‌از دور، نقشه پهنه‌بندی ریسک سرمازدگی بین سال‌های ۱۹۶۱ تا ۲۰۱۶ را تهیه کردند که عواملی مانند تopoگرافی و توزیع کاربری اراضی در

مواد و روش‌ها

منطقه مورد مطالعه

این مطالعه در شمال ایران و جنوب دریای خزر در استان گیلان انجام شده است. استان گیلان در شمال کشور ایران و در ۳۶ درجه و ۳۳ دقیقه تا ۳۱ درجه و ۲۲ دقیقه عرض شمالی و ۴۸ درجه و ۵۸ دقیقه تا ۵۰ درجه و ۵۸ دقیقه طول شرقی از نصف‌النهار قرار گرفته است. میانگین دمای کمینه فصل تابستان در استان گیلان ۱۸/۶ درجه سلسیوس و میانگین دمای بیشینه ۲۹/۰ درجه سلسیوس و میانگین دما هوا برابر ۲۳/۸ درجه سلسیوس بوده است.

استان گیلان بر اساس تقسیمات اقلیمی یکی از گرم‌ترین مناطق مدیترانه‌ای با تابستان‌های گرم و زمستان‌های معتدل است. بیش از ۸۰ درصد سطح برداشت برنج در دو استان شمالی مازندران و گیلان در نواحی ساحلی حاشیه دریای خزر پراکنده است. برنج در استان گیلان دارای سطح زیر کشت حدود ۲۳۰ هزار هکتار است که نیمی از آن در حدود ۱۰۰ هزار هکتار در شرق استان واقع شده است (Pandi et al., 2020; Torabi Golsefidi et al., 2005).

در سال‌های اخیر مشکلات به وجود آمده در بخش کشاورزی از جمله سرمادگی، شالیکاران را بر آن داشته که به جای کشت این محصول مهم محصولات دیگری کشت کند (Nosrati et al., 2022).

روش تحقیق

گزارش‌های پایه (شامل فیزیوگرافی، هواشناسی، هیدرولوژی و پوشش گیاهی) و اطلاعات مربوط به منطقه مورد مطالعه جمع‌آوری شد، سپس از بین محصولات سنجنده MODIS (MODIS) که بر روی ماهواره ترا (Terra) نصب شده است و در حدود ساعت ۱۱ صبح از منطقه مورد مطالعه گذر می‌کند داده‌های دمای سطح زمین استخراج شد (Masoodian and Keikhosravi Kiany, 2020). ویژگی‌های محصول

MOD11A1 در **جدول ۱** نشان داده شده است.

داده‌های موردنیاز ایستگاه‌های هواشناسی استان گیلان در بازه زمانی سه ساعته شش صبح، نه صبح، دوازده ظهر، سه بعدازظهر، شش غروب در دوره آماری ۲۰۰۰ تا ۲۰۱۷ از اداره هواشناسی اخذ گردید. منطقه انتخاب شده در طی سالیان مختلف توسط صندوق بیمه محصولات کشاورزی در معرض پرداخت‌های مکرر خسارات، از جمله سرمادگی در طی دهه آخر بوده؛ لذا با پیشنهاد این صندوق، منطقه موردنظر

به عنوان پایلوت انتخاب و مطالعات طی سال‌های ۲۰۰۰ تا ۲۰۱۷ انجام گردید. با استفاده از داده‌های سری زمانی ایستگاه (نه صبح، دوازده ظهر، سه بعدازظهر) داده‌های سری زمانی ماهواره‌ای واسنجی بین داده‌های ایستگاهی و تصاویر ماهواره‌ای انجام و رابطه معنی‌داری با همبستگی بالا از طریق مدل‌های آماری خطی استخراج گردید.

جدول ۱. معرفی مشخصات داده‌های MOD11A1
Table 1. Introduction of the characteristics of MOD11A1 data.

Characteristic	Description
Collection	Terra MODIS
File Size	~2 MB
Temporal Resolution	Daily
Temporal Extent	2000-02-24 to Present
Spatial Extent	Global
Coordinate System	Sinusoidal
File Format	HDF-EOS
Geographic Dimensions	1200 km x 1200 km
Number of Science Dataset (SDS) Layers	12
Columns/Rows	1200 x 1200
Pixel Size	1000 m

(Wan, 2006)

تعیین دوره رشد گیاه برنج بر اساس اطلاعات و آمار استان انجام شد (**جدول ۲**) که مراحل اصلی رشد برنج عبارت‌اند از مرحله جوانه‌زنی که ابتدا غلاف ریشه ظاهر شده سپس ریشه‌چه از غلاف خارج می‌شود (جوانه‌زنی تا ظهر ساقه)، ساقه مزوکوتیل طویل شده و در ادامه رشد گیاه‌چه و ظهر اولین برگ (رشد گیاه‌چه، پنجه‌زنی و طویل شدن ساقه)، در مرحله رویشی پنجه‌زنی با رشد و توسعه گیاه‌چه آغاز شده که شامل برگ‌ها، ساقه و ریشه‌ها است که تا زمان تشکیل خوشة اولیه ادامه می‌یابد (از پنجه‌زنی تا تشکیل خوشة) و مرحله آخر مرحله زایشی که از ظهر خوشة تا گل‌دهی و پر شدن دانه (از ظهر خوشة تا گل‌دهی و پر شدن دانه) است (Davatgar et al., 2012; Navabi and Allahgholipoor, 2014; Yoshida, 1981).

سپس با استفاده از تصاویر سنجنده MODIS و همچنین بر اساس دستورالعمل موسسه تحقیقات برنج با توجه به حد بحرانی دما (**جدول ۳**) (Davatgar et al., 2012) از آن گیاه دچار تنفس سرما می‌شود نقشه‌های پهنه‌بندی خطر سرما در نرم‌افزار ArcGIS، با توجه به تعداد روزهایی که خطر سرمادگی در هر مرحله رشد گیاه در منطقه رخداده بود استخراج و نقشه خطر تهیه گردید. به منظور تهیه نقشه

سطح هموارسازی را تعریف می‌کنند، سطوح پیوسته نقاط اندازه‌گیری شده مانند IDW، LPI، GPI و RBF را ایجاد می‌کنند (Bhunia et al., 2018; Jalili Pirani and Modarres, 2020؛ اما روش‌های درون‌یابی زمین‌آماری از مدل‌های آماری استفاده می‌کنند که روابط آماری و کمی همبستگی مکانی بین نقاط اندازه‌گیری شده، مانند کریجینگ معمولی (OK) و کریجینگ جهانی (UK) را تعیین می‌کنند (Antal et al., 2021؛ Wang et al., 2014). در این تحقیق، انواع تکنیک‌های درون‌یابی مبتنی بر GIS مانند درون‌یابی چندجمله‌ای محلی (LPI)، وزن‌دهی معکوس فاصله (IDW)، تابع پایه شعاعی (RBF)، درون‌یابی چندجمله‌ای جهانی (GPI) مقایسه شده و از مدل‌های ریاضی استفاده شد. مقادیر خودهمبستگی فضایی بین نقاط را پیش‌بینی کرده و یک ارزیابی احتمالی از کیفیت درون‌یابی ارائه می‌کند (Antal et al., 2021؛ Carvalho and Wang, 2019؛ Keshtkar et al., 2021؛ Sheng et al., 2021).

روش وزن‌دهی معکوس فاصله¹ IDW

در این روش مقادیر درون‌یابی عمدتاً تحت تأثیر مقادیر نزدیک قرار می‌گیرند و کمتر تحت تأثیر مشاهدات دور و مجموعه داده‌ها و پیش‌بینی مقادیر مناطق ناشناخته قرار می‌گیرند (Garnero and Godone, 2014؛ Robinson and Metternicht, 2006). بستگی به درجه کارایی (وزن) نقاط بر روی هر نقطه دیگر دارد که مستقیماً با معکوس فاصله بین نقاط تعیین شده متناسب است و مقدار مجھول یک نقطه بیشتر تحت تأثیر نقاط کنترل نزدیک است تا نقاط دورتر و می‌تواند با معادله زیر (رابطه ۱) نمایش داده شود (Huang et al., 2011؛ Van Mierlo et al., 2021؛ Wang et al., 2014).

$$Z = \frac{\sum_{i=1}^n \frac{1}{(d_i)^p} Z_i}{\sum_{i=1}^n \frac{1}{(d_i)^p}} \quad [1]$$

نقطه درون‌یابی (پیش‌بینی شده) مقدار Z است. یک مقدار n مونه برای نقطه i است (i = 1, 2, ..., n) تعداد نقاط نمونه n است. di فاصله بین مقادیر نمونه‌گیری و درون‌یابی است.

پهنه‌بندی روش‌های مختلف درون‌یابی مورد بررسی قرار گرفت.

جدول ۲. تاریخ مراحل مختلف رشد برنج در استان گیلان

Table 2. Date of different rice growth stages of rice in Gilan province

Rice growth stages	مراحل رشد گیاه برنج	تاریخ Data
جوانه‌زنی	10 اسفند تا ۱۰ خرداد	10
Germination	1 March-31 May	
گیاه‌چهای	۱ خرداد تا ۳۱ تیر	۱
Seedling	22 May-22 July	
رویشی	۵ تیر تا ۲۳ مرداد	۵
Vegetative	26 June- 1 August	
زایشی	۸ مرداد تا ۸ مهر	۸
Reproductive	30 July-30 September	

جدول ۳. حد بحرانی دما برای خسارت سرما در مراحل مختلف

(Davatgar et al., 2012)

Table 3. Critical temperature limit for cold damage in different growth (Davatgar et al., 2012)

Rice growth stages	مراحل رشد گیاه برنج	درجة بحرانی حرارت Critical temperature limit (°C)
Germination	جوانه‌زنی	10
Seedling	گیاه‌چهای	13
Vegetative	رویشی	15
Reproductive	زایشی	17

درون‌یابی فرایندی است که طی آن می‌توان مقدار یک کمیت در نقاطی با مختصات معلوم را با استفاده از مقدارهای همان کمیت در نقاط دیگری با مختصات متغیر مجھول در منطقه موردمطالعه به دست آورد. تخمین زمین‌آماری جزو دقیقترين روش‌های برآورد است، به خاطر اينکه عوامل متعددی مانند فاصله بین نقاط، ناهمسانگردی و تنوع مکانی را بررسی می‌کند (Piri et al., 2017). درون‌یابی فضایی در GIS، برای پیش‌بینی و نمایش در بسیاری از مناطق استفاده می‌شود (Huang et al., 2011). درون‌یابی مکانی به دو روش زمین‌آماری و قطعی تقسیم می‌شود. در روش‌های قطعی، با استفاده از فرمول‌های ریاضی که درجه شباهت یا

¹ Inverse Distance Method

p یک عدد واقعی مثبت که پارامتر است نشان‌دهنده توان است (Elumalai et al., 2017; Wang et al., 2014).

اعتبارسنجی مقابله

اعتبارسنجی مقابله یک روش آماری برای ارزیابی و مقایسه بازده تکنیک‌های مختلف درون‌یابی است. از اعتبارسنجی مقابله برای دانستن اینکه هر مدل چقدر مقادیر را در مکان‌های ناشناخته پیش‌بینی می‌کند استفاده می‌شود (Wang et al., 2014; Xu et al., 2021b) می‌توان از آن برای شناخت بهترین تکنیک‌های درون‌یابی برای ایجاد یک سطح ثابت برای ارزیابی و مقایسه بازده روش‌های مختلف درون‌یابی استفاده کرد. در این تحقیق از ضریب تعیین (R²) و ریشه میانگین مربعات خطا (RMSE) برای ارزیابی تکنیک‌های درون‌یابی استفاده شده است و می‌توان آن را با معادلات زیر (روابط ۲ و ۳) محاسبه کرد:

$$RMSE = \sqrt{\frac{1}{n} \sum_i^n (z_i - \bar{z})^2} \quad [2]$$

$$R^2 = \left[\frac{\sum_i^n (z_i - \bar{z}_i)(z - \bar{z})}{\sqrt{\sum_i^n (z_i - \bar{z}_i)^2 \sum_i^n (z - \bar{z})^2}} \right]^2 \quad [3]$$

در معادلات فوق، مقدار پیش‌بینی شده Z است. مقدار مشاهده شده در نقطه i نمونه‌گیری Z_i است (i = ۱, ۲,، n) و n تعداد نقاط نمونه است. روشی که کمترین مقدار R² و RMSE را دارد بعنوان مناسب‌ترین روش تعیین می‌شود (Carvalho and Wang, 2019; Long et al., 2020; Robinson and Metternicht, 2006).

نتایج و بحث

در این مطالعه از ریشه میانگین مربعات خطا (RMSE) و ضریب تعیین (R²) بعنوان شاخص‌های آماری برای ارزیابی تکنیک‌های مختلف درون‌یابی استفاده شدند (جدال ۴ و ۵). با توجه به میزان ریشه میانگین مربعات خطا (RMSE) و ضریب تعیین (R²) به دست‌آمده و منابع مختلف علمی، از بین روش‌های درون‌یابی مختلف در مراحل مختلف رشد برنج، روش IDW برای تهیه نقشه پهنه‌بندی انتخاب شد. چون در روش GPI، به جای استفاده از نقاط اندازه‌گیری شده نزدیک به هم با استفاده از کل مجموعه داده‌ها درون‌یابی را محاسبه می‌کند در صورتی که در گیاه برنج با توجه به رقم‌های متفاوت

روش درون‌یابی چندجمله‌ای جهانی 'GPI'

برخلاف IDW، درون‌یابی چندجمله‌ای جهانی به جای استفاده از نقاط اندازه‌گیری شده در همسایگی‌ها با استفاده از کل مجموعه داده، پیش‌بینی‌ها را محاسبه می‌کند. در GPI ترتیب اول متناسب با صفحه مسطح است. مرتبه دوم متناسب با سطحی بود که امکان خم شدن را فراهم می‌کند. مرتبه سوم GPI امکان دو خم شدن را فراهم می‌کند. صفحات چندجمله‌ای برای نمایش بهتر سطح موردنظر و برخلاف LPI، GPI سطوحی را تولید می‌کند که تغییرات محلی بیشتری را به خود اختصاص می‌دهند (Ahmed et al., 2014; Azizian and Shokoohi, 2015; Keshtkar et al., 2021).

روش درون‌یابی چندجمله‌ای محلی 'LPI'

درون‌یابی چندجمله‌ای‌های محلی به جای همه داده‌ها با استفاده از نقاط تنها در همسایگی مشخص شده و مقدار سطح در مرکز همسایگی به عنوان مقدار پیش‌بینی شده تخمین زده می‌شود. GPI برای دانستن روندهای دوربرد در مجموعه داده‌ها مفید است، در حالی که LPI می‌تواند سطوحی ایجاد کند که تغییرات کوتاه برد را ثبت کند (Antal et al., 2021; Wang et al., 2014).

تابع پایه شعاع (RBF)

RBF مقادیر بالاتر از حداکثر و کمتر از مقادیر اندازه‌گیری شده را پیش‌بینی می‌کند، در حالی که IDW هرگز مقادیر بالاتر از حداکثر یا کمتر از مقادیر اندازه‌گیری شده را پیش‌بینی نمی‌کند. RBF می‌تواند نتایج خوبی برای سطوح صاف ایجاد کند و زمانی که تغییر چشمگیری در مقادیر سطحی در فواصل کوتاه ایجاد می‌شود، بی‌اثر است و این روش‌ها شکلی از شبکه‌های عصبی مصنوعی هستند (Ahmed et al., 2014; Azizian and Shokoohi, 2015; Bhunia et al., 2018; Wang et al., 2014).

² Local Polynomial Interpolation

³ Radial Basis Function

¹ Global Polynomial Interpolation

گروه خیلی کم، کم، متوسط، زیاد و خیلی زیاد با توجه به تعداد روزهای خطر سرمازدگی طبقه‌بندی شد. سپس نقشه پهنه‌بندی خطر سرمازدگی در مراحل مختلف رشد تهیه شد که نشان می‌دهد در مراحل جوانه‌زنی و زایشی خطر سرمازدگی برای گیاه برنج نسبت به سایر مراحل بیشتر است (شکل‌های ۱ تا ۴).

و در مراحل متفاوت رشد ناهمگنی وجود دارد؛ لذا طبق نتایج به دست آمده روش IDW که نقاط مجاور یکدیگر به جای کل نقاط در نظر می‌گیرد استفاده شد. سپس نقشه پهنه‌بندی خطر با توجه به جدول طبقه‌بندی خطر سرمازدگی (جدول ۶) برای محصول برنج در مراحل مختلف رشد گیاه بین ۲۰۰۰ تا ۲۰۱۷ با روش IDW تهیه گردید که به ۵ سال‌های

جدول ۴. RMSE روش‌های مختلف درون‌بایی در مراحل مختلف رشد برنج

Table 4. RMSE of different interpolation methods in different of rice growth stages

روش	جوانه‌زنی	گیاهچه‌ای	رویشی	زایشی
Method	Germination	Seedling	Vegetative	Reproductive
IDW	143.17	5.38	6.53	65.2
GPI	138.33	8.55	9.63	90.22
RBF	134.14	3.45	5.36	59.75
LPI	146.33	3.85	5.93	73.46

جدول ۵. R2 روش‌های مختلف درون‌بایی در مراحل مختلف رشد برنج

Table 5. R2 of different interpolation methods in different of rice growth stages

روش	جوانه‌زنی	گیاهچه‌ای	رویشی	زایشی
Method	Germination	Seedling	Vegetative	Reproductive
IDW	0.31	0.89	0.66	0.65
GPI	0.49	0.007	0.003	0.30
RBF	0.23	0.79	0.60	0.40
LPI	0.47	0.85	0.60	0.48

جدول ۶. طبقه‌بندی خطر سرما برای محصول برنج

Table 6. Cooling stress hazard classification for rice crop

طبقه‌بندی خطر	خیلی کم	کم	متوسط	زیاد	خیلی زیاد
Hazard classification	Very low	Low	Moderate	High	Very high
مقدار شاخص خطر (روز)	20<	20-40	40-60	60-80	>80
Hazard Index value (day)					

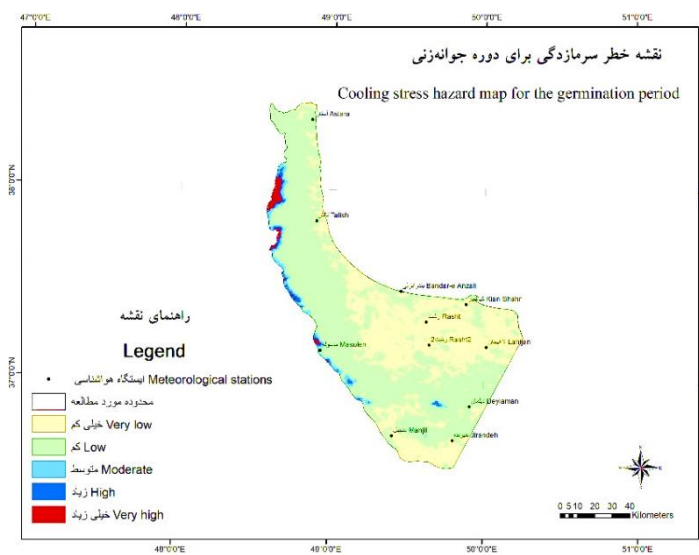
دشت تا کوهستان، نقشه خطر سرما بر روی کل پهنه استان منطبق با اراضی کشت برنج تولید شده است و بر اساس معیارهای در نظر گرفته شده، پنج نوع کلاس متفاوت برای خطر سرمازدگی برنج بسیار کم، کم، متوسط، زیاد و بسیار زیاد در نظر گرفته شد. نقشه پهنه‌بندی خطر سرما در دوره جوانه‌زنی نشان می‌دهد ۳۷/۷۶ درصد معادل ۴۴۴۸۵۸/۶۳ هکتار از سطح کل استان دارای خطر خیلی کم، ۵۸/۳۶ هکتار دارای خطر کم، ۲/۰۸ درصد معادل ۶۸۷۵۰۸/۸۰ هکتار دارای خطر کم، ۰/۹۳ درصد معادل ۲۴۴۷۱/۰۹ هکتار دارای خطر متوسط، ۰/۸۷ درصد معادل ۱۰۹۰۴/۶۶ هکتار دارای خطر زیاد و ۰/۸۷ در معادل ۱۰۲۱۷/۷۵ هکتار دارای خطر خیلی زیاد هستند و در

نتیجه‌گیری نهایی

سرما به اغلب محصولات زراعی از جمله برنج آسیب می‌رساند و خسارت‌های اقتصادی جبران ناپذیری را ایجاد می‌کند، به همین دلیل تاریخ کاشت و تغییرات دمایی را بایستی مدنظر قرار دهیم؛ زیرا نقش مهمی در میزان عملکرد تولید برنج ایفا می‌کنند. در این مطالعه نقشه‌های پهنه‌بندی خطر سرمازدگی با استفاده از تصاویر ماهواره MODIS طی فصل رشد گیاه برنج در دوره آماری ۲۰۱۷ تا ۲۰۰۰ و به روش وزن دهی معکوس فاصله در چهار مرحله رشد گیاه برنج شامل مراحل جوانه‌زنی، گیاهچه‌ای، رویشی و زایشی در کل سطح استان گیلان تهیه گردید که با توجه به تنوع توپوگرافی استان شامل

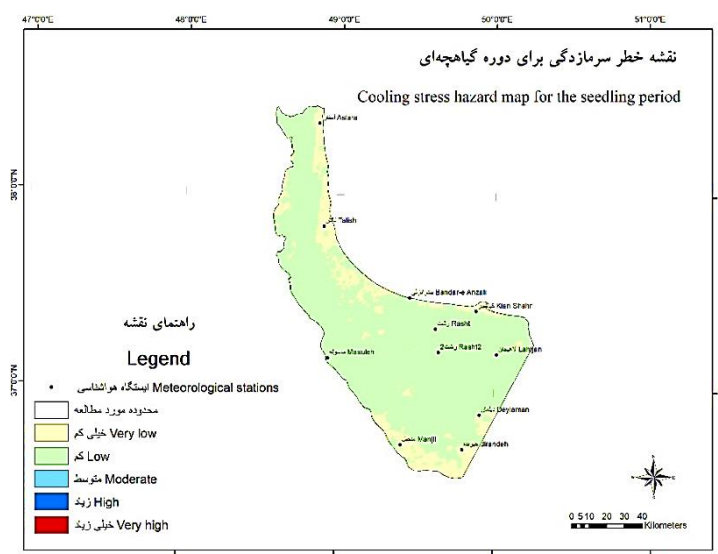
خطر سرمادگی در سطح کل استان مربوط به ارتفاعات ۱۰۰۰ تا ۲۰۰۰ متر بوده و در مرحله جوانهزنی و زایشی میزان این خطر زیاد و خیلی زیاد است و هر چه که به دریا نزدیکتر می‌شویم میزان خطر در همه مراحل رشد حتی در مراحل جوانهزنی و زایشی کم و خیلی کم است.

دوره رویشی منطقه دارای ۹۲/۶۲ درصد خطر کم و ۷/۳۸ دوره خیلی کم و در دوره گیاهچهای دارای ۸۴/۶۶ درصد خطر کم و ۱۵/۳۴ درصد خیلی کم و در دوره زایشی ۴۷/۸۶ درصد خیلی کم، ۴۷/۳۹ درصد کم، ۳/۸۴ درصد متوسط، ۰/۶۹ درصد زیاد و ۰/۲۱ درصد دارای خطر خیلی زیاد است. بر اساس نقشه‌های پهنه‌بندی خطر، رخداد سرمادگی طی ۱۷ سال مورد بررسی قرار گرفت؛ و نشان داد که بیشترین



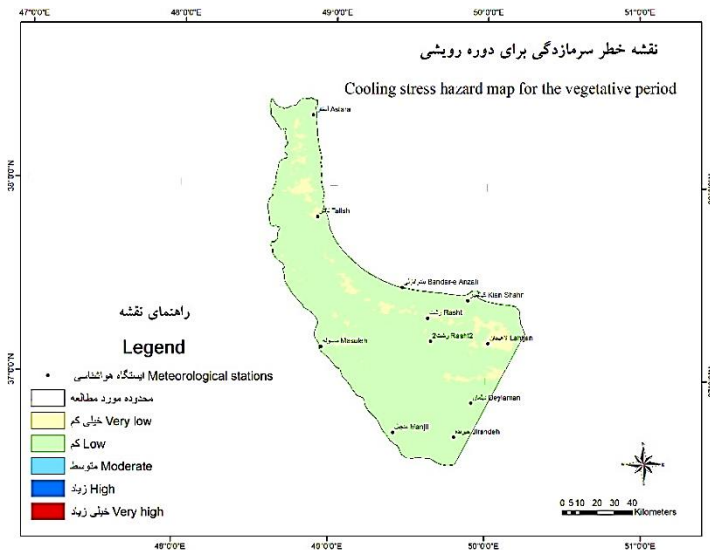
شکل ۱. نقشه خطر سرمادگی برای دوره جوانهزنی

Fig. 1. Cooling stress hazard map for the germination period



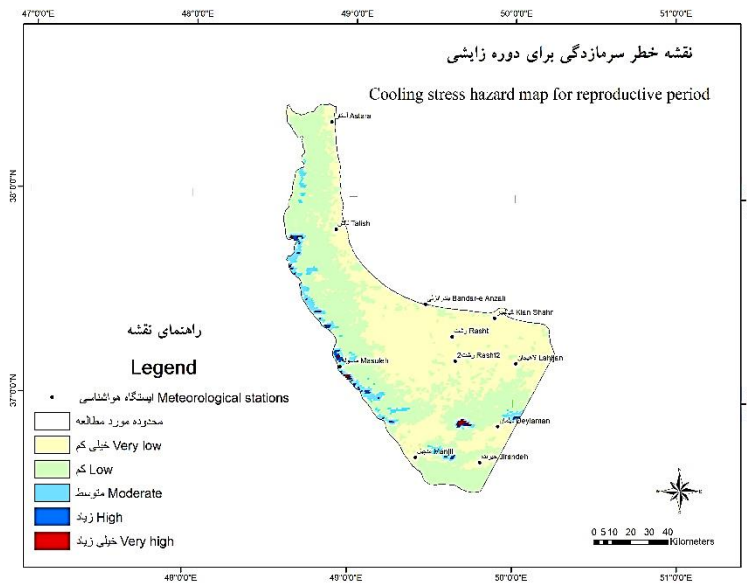
شکل ۲. نقشه خطر سرمادگی برای دوره گیاهچهای

Fig. 2. Cooling stress hazard map for the seedling period



شکل ۳. نقشه خطر سرمزدگی برای دوره رویشی

Fig. 3. Cooling stress hazard map for the vegetative period



شکل ۴. نقشه خطر سرمزدگی برای دوره زایشی

Fig. 4. Cooling stress hazard map for reproductive period

باید تاریخ مناسبی را برای دوره جوانه‌زنی انتخاب کنیم تا در این زمان کمترین تلفات را داشته باشد. همچنین در مناطق شمال غربی استان که این مناطق فاصله دریا تا مناطق کوهستانی کم است بهتر است برج کشت نشود؛ چون خطر سرمزدگی در این مناطق نسبت به سایر مناطق استان بیشتر است و دارای شدت زیاد و خیلی زیاد است. در سایر مناطق که دارای شدت متوسط و کم هستند پیشنهاد می‌شود به تاریخ کشت دقت کنند به خاطر اینکه بعد از دوره جوانه‌زنی دوره زایشی بیشترین خطر سرمزدگی را دارد است که برای

نتایج این تحقیق نشان می‌دهد که برج در دوره جوانه‌زنی نسبت به سایر مراحل رشد در معرض خطر سرمزدگی قرار دارد. بر اساس نتایج آنداها و مکیل (Andaya and Mackill, 2003) در مراحل اولیه رشد برج، وقوع تنش دمای پایین بر جوانه‌زنی بذر تأثیر می‌گذارد که مانع از استقرار گیاهچه می‌شود و درنهایت منجر به بلوغ غیربکنواخت محصول می‌شود. خطر سرمزدگی برج در دو مرحله رویشی و گیاهچه‌ای کم و خیلی کم است که با کمک نتایج حاصل و همچنین با توجه به داده‌های هواشناسی در سطح زیر کشت،

همچنین کاهش عملکرد محصول ناشی از سرمازدگی قابل بررسی است. درنهایت تأثیر تنفس دمایی و سرمازدگی در مراحل مختلف رشد برنج نشان داد؛ در مراحل رشد اولیه گیاه از جوانه‌زنی تا پنجه دهی و ظهور خوش تا طویل شدن ساقه از حساس‌ترین مراحل نسبت به تنفس است. ارزیابی خطر سرمازدگی از طریق تولید نقشه‌های پهنه‌بندی خطر، کمک به بهبود مدیریت، تصمیم‌گیری، برنامه‌ریزی و سیاست‌های کشاورزی می‌کند.

جلوگیری از این اتفاق بهترین کار تعیین زمان کاشت مناسب و پرهیز از سرمازدگی در مراحل اولیه دوره رشد است. همچنین در مناطق با خطر زیاد و خیلی زیاد بایستی از ارقامی استفاده شود که در دماه‌های پایین تحمل بالاتری دارند؛ چون همان‌طور که می‌دانیم ارقام مختلف برنج از نظر تحمل به دمای پایین بسیار متفاوت هستند.

بر اساس نتایج به دست آمده، تصاویر ماهواره‌ای در ارزیابی تنفس‌های سرما عملکرد خوبی دارند. با استفاده از تصاویر ماهواره‌ای، سرمازدگی در مراحل مختلف رشد برنج و

منابع

- Ahmed, K., Shahid, S., Harun, S.B., 2014. Spatial interpolation of climatic variables in a predominantly arid region with complex topography. *Environment Systems and Decisions*, 34, 555–563. <https://doi.org/10.1007/s10669-014-9519-0>
- Ahuja, I., de Vos, R.C., Bones, A.M., Hall, R.D., 2010. Plant molecular stress responses face climate change. *Trends in Plant Science*, 15, 664–674.
- Andaya, V.C., Mackill, D.J., 2003. Mapping of QTLs associated with cold tolerance during the vegetative stage in rice. *Journal of Experimental Botany*, 54, 2579–2585. <https://doi.org/10.1093/jxb/erg243>
- Antal, A., Guerreiro, P.M.P., Cheval, S., 2021. Comparison of spatial interpolation methods for estimating the precipitation distribution in Portugal. *Theoretical and Applied Climatology*, 145, 1193–1206. <https://doi.org/10.21203/rs.3.rs-329689/v1>
- Arnous, M.O., Omar, A.E., 2018. Hydrometeorological hazards assessment of some basins in Southwestern Sinai area, Egypt. *Journal of Coastal Conservation*, 22, 721–743. <https://doi.org/10.1007/s11852-018-0604-2>
- Azizian, A., Shokoohi, A., 2015. Investigation of the Effects of DEM Creation Methods on the Performance of a Semidistributed Model: TOPMODEL. *Journal of Hydrologic Engineering*, 20, 05015005. [https://doi.org/10.1061/\(ASCE\)HE.1943-5584.0001204](https://doi.org/10.1061/(ASCE)HE.1943-5584.0001204)
- Becker, C.C., Streck, N.A., Schwab, N.T., Uhlmann, L.O., Tomiozzo, R., Ferraz, S.E.T., 2021. Climate risk zoning for gladiolus production under three climate change scenarios. *Brazilian Journal of Agricultural and Environmental Engineering*, 25, 297–304. <https://doi.org/10.1590/1807-1929/agriambi.v25n5p297-304>
- Belal, A.-A., El-Ramady, H.R., Mohamed, E.S., Saleh, A.M., 2014. Drought risk assessment using remote sensing and GIS techniques. *Arabian Journal of Geosciences*, 7, 35–53. <https://doi.org/10.1007/s12517-012-0707-2>
- Bhunia, G.S., Shit, P.K., Maiti, R., 2018. Comparison of GIS-based interpolation methods for spatial distribution of soil organic carbon (SOC). *Journal of the Saudi Society of Agricultural Sciences*, 17, 114–126. <https://doi.org/10.1016/j.jssas.2016.02.001>
- Caldana, N.F.da S., Nitsche, P.R., Ferreira, L.G.B., MartelÃ3cio, A.C., Caramori, P.H., Zaccheo, P.V.C., Martins, J.A., 2020. Agroclimatic risk zoning of mango (*Mangifera indica*) in the hydrographic basin of Paran River III, Brazil. *African Journal of Agricultural Research*, 16, 983–991. <https://doi.org/10.5897/AJAR2020.14737>
- Carvalho, K.S., Wang, S., 2019. Characterizing the Indian Ocean sea level changes and potential coastal flooding impacts under global warming. *Journal of Hydrology*, 569, 373–386. <https://doi.org/10.1016/j.jhydrol.2018.11.072>
- Chauhan, Y.S., Allard, S., Krosch, S., Ryan, M., Rachaputi, R.C.N., 2022. Relationships of frequencies of extreme low temperatures with grain yield of some Australian commercial chickpea cultivars. *International Journal of Biometeorology*, 66, 2105–2115. <https://doi.org/10.1007/s00484-022-02344-9>
- Cheng, Y., Huang, J., Han, Z., Guo, J., Zhao, Y., Wang, X., Guo, R. 2013. Cold damage risk

- assessment of double cropping rice in Hunan, China. *Journal of Integrative Agriculture*, 12, 352–363.
- Crimp, S., Bakar, K.S., Kokic, P., Jin, H., Nicholls, N., Howden, M., 2015. Bayesian space-time model to analyse frost risk for agriculture in Southeast Australia: SPACE-TIME MODEL TO ANALYSE FROST RISK. *International Journal of Climatology*, 35, 2092–2108. <https://doi.org/10.1002/joc.4109>
- Cruz, R.P. da, Sperotto, R.A., Cargnelutti, D., Adamski, J. M., de FreitasTerra, T., Fett, J.P., 2013. Avoiding damage and achieving cold tolerance in rice plants. *Food and Energy Security*, 2, 96–119. <https://doi.org/10.1002/fes3.25>
- Davatgar, N., Shahdi Koomleh, A., Amiri Larijani, B., Tarang, A.R., Padasht, F., Majidi, F., Mohammadian, M., Fallah, A., Farzaneh, D., Azadpeyma, V.A., Karbalaei, M.T., Guilani, A.A., Babazadeh, S., Yaghoubi, B., Nasiri, M., Allahgholipour, M., Dorost, H., Sodaei, S., Mousanejad, S., 2012. Guidelines for assessing damage by separation of management and natural factors in different stages of rice growth. Research project number 40091 dated 19/02/2012 Agriculture information and science document center in Areeo (Agriculture research education extention organization) [In Persian].
- Elumalai, V., Brindha, K., Sithole, B., Lakshmanan, E., 2017. Spatial interpolation methods and geostatistics for mapping groundwater contamination in a coastal area. *Environmental Science and Pollution Research*, 24, 11601–11617. <https://doi.org/10.1007/s11356-017-8681-6>
- Emamifar, S., Rahimikhoob, A., Noroozi, A.A., 2013. Daily mean air temperature estimation from MODIS land surface temperature products based on M5 model tree: DAILY MEAN AIR TEMPERATURE ESTIMATION FROM MODIS. *International Journal of Climatology*, 33, 3174–3181. <https://doi.org/10.1002/joc.3655>
- Fallah, A., Miarostami, P., 2015. Effect of temperature treatments on growth stages and yield of rice varieties in greenhouse. *Applied Field Crops Research*, 28, 94–103. [In Persian with English summary]. <https://doi.org/10.22092/aj.2015.105728>
- Garnero, G., Godone, D., 2014. Comparisons Between Different Interpolation Techniques. The International Archives of the Photogrammetry, Remote Sensing and Spatial Information Sciences, XL-5-W3, 139–144. <https://doi.org/10.5194/isprsarchives-XL-5-W3-139-2013>
- Gharachorloo, M., Zulfiqar, A., Bayat, M. H., Bahrami, F., 2019. Arsenic Tracking in Iranian Rice: Analysis of Agricultural Soil and Water, Unpolished Rice and White Rice. *Journal of Food Biosciences and Technology*, 9, 19–34.
- Ghorbani, A., Zarinkamar, F., Fallah, A., 2011. Effect of cold stress on the anatomy and morphology of the tolerant and sensitive cultivars of rice during germination. *Cell and Tissue Journal*, 2, 235–244. [In Persian with English summary]. <https://doi.org/10.52547/JCT.2.3.235>
- Gobbett, D. L., Nidumolu, U., Crimp, S., 2020. Modelling frost generates insights for managing risk of minimum temperature extremes. *Weather and Climate Extremes*, 27, 100176. <https://doi.org/10.1016/j.wace.2018.06.003>
- Gross, B.L., Zhao, Z., 2014. Archaeological and genetic insights into the origins of domesticated rice. *Proceedings of the National Academy of Sciences*, 111, 6190–6197. <https://doi.org/10.1073/pnas.1308942110>
- Huang, F., Liu, D., Tan, X., Wang, J., Chen, Y., He, B., 2011. Explorations of the implementation of a parallel IDW interpolation algorithm in a Linux cluster-based parallel GIS. *Computers and Geosciences*,
- Jalili Pirani, F., Modarres, R., 2020. Geostatistical and deterministic methods for rainfall interpolation in the Zayandeh Rud basin, Iran. *Hydrological Sciences Journal*. 65, 2678–2692. <https://doi.org/10.1080/02626667.2020.1833014>
- Ji, R., Yu, W., Feng, R., Wu, J., Zhang, Y., 2021. Identification and characteristics of combined agrometeorological disasters caused by low temperature in a rice growing region in Liaoning Province, China. *Scientific Reports*, 11, 9968. <https://doi.org/10.1038/s41598-021-89227-y>
- Kayess, M.O., Hassan, M.M., Nurhasan, M., Ahmed, K., 2020. Effect of Low Temperature on Chlorophyll and Carotenoid Content on the Seedlings of Some Selected Boro Rice Varieties. *American Journal of Plant Sciences*,

- 11, Article 2.
<https://doi.org/10.4236/ajps.2020.112010>
- Keshtkar, A.R., Moazami, N., Afzali, A., 2021. Assessment of spatial interpolation techniques for drought severity analysis in Iran's Salt Lake Basin. *Desert*, 26. <https://doi.org/10.22059/jdesert.2021.305618.1006786>
- Kimura, K., Kudo, K., Maruyama, A., 2021. Spatiotemporal distribution of the potential risk of frost damage in tea fields from 1981-2020: A modeling approach considering phenology and meteorology. *Journal of Agricultural Meteorology*, 77, 224–234. <https://doi.org/10.2480/agrmet.D-21-00011>
- Lagrini, K., Ghafiri, A., Ouali, A., Elrhaz, K., Feddoul, R., Elmoutaki, S., 2020. Application of geographical information system (GIS) for the development of climatological air temperature vulnerability maps: An example from Morocco. *Meteorological Applications*, 27, e1871. <https://doi.org/10.1002/met.1871>
- Lakra, N., Soni, A., Munjal, R., 2020. Biotechnological approaches to develop rice tolerance to low and high temperature stress. *Rice Research for Quality Improvement: Genomics and Genetic Engineering*: 1, 549–578. https://doi.org/10.1007/978-981-15-4120-9_23
- Li, S., Wang, Z., Huang, J. 2018. Evaluation of Tea Frost Risk in Zhejiang Province Based on GIS. 7th International Conference on Agro-Geoinformatics (Agro-Geoinformatics) IEEE, 2018. 1–4. <https://doi.org/10.1109/Agro-Geoinformatics.2018.8476062>
- Liang, C., Qiao-jun, L.O.U., Zong-xiu, S.U.N., Yong-zhong, X., Xin-qiao, Y.U., Li-jun, L.U.O., 2006. QTL mapping of low temperature on germination rate of rice. *Rice Science*, 13, 93.
- Liu, X., Zhang, Z., Shuai, J., Wang, P., Shi, W., Tao, F., Chen, Y., 2013. Impact of chilling injury and global warming on rice yield in Heilongjiang Province. *Journal of Geographical Sciences*, 23, 85–97. <https://doi.org/10.1007/s11442-013-0995-9>
- Long, J., Liu, Y., Xing, S., Zhang, L., Qu, M., Qiu, L., Huang, Q., Zhou, B., Shen, J., 2020. Optimal interpolation methods for farmland soil organic matter in various landforms of a complex topography. *Ecological Indicators*, 110, 105926. <https://doi.org/10.1016/j.ecolind.2019.105926>
- Lou, W., Zhao, Y., Huang, X., Zhu, T., Yang, M., Deng, S., Zhou, Z., Zhang, Y., Sun, Q., Chen, S., 2023. Frost risk assessment based on the frost-induced injury rate of tea buds: A case study of the Yuezhou Longjing tea production area, China. *European Journal of Agronomy*, 147, 126839. <https://doi.org/10.1016/j.eja.2023.126839>
- Masoodian, S.A., Keikhosravi Kiany, M.S., 2020. Trend analysis of snow accumulation season start in Iran using remote sensing data. *Geography and Environmental Planning*, 31, 1–14. [In Persian with English summary]. <https://doi.org/10.22108/cep.2020.120775.1249>
- Mosleh, M., Hassan, Q., Chowdhury, E., 2015. Application of remote sensors in mapping rice area and forecasting its production: A review. *Sensors*, 15, 769–791. <https://doi.org/10.3390/s150100769>
- Navabi, M., Allahgholipoor, M., 2014. Rice phenological stages. Ministry of Agriculture-Jahad Agricultural Research, Education and Extension Organization Rice Research Institute of Iran. Research project number 88/329 dated 2014 Agriculture information and science document center in Areeo (Agriculture research education extension organization). [In Persian].
- Najeeb, S., Mahender, A., Anandan, A., Hussain, W., Li, Z., Ali, J., 2021. Genetics and Breeding of Low-Temperature Stress Tolerance in Rice. *Rice Improvement: Physiological, Molecular Breeding and Genetic Perspectives*. 221–280. https://doi.org/10.1007/978-3-030-66530-2_8
- Nosrati, M., Barghi, H., Ghanbari, Y. 2022. Changing the cultivation pattern and its effect on the structure of stable economy (Case study: Rural areas of Gilan province). *Geography and Environmental Sustainability*. 12, 109-125. [In Persian with English summary]. <https://doi.org/10.22126/GES.2022.7432.2498>
- Pachecoy, M.I., Ramirez, I.A., Marín, A., Pontaroli, A.C., 2014. Assessment of cold tolerance at early developmental stages and allelic variation at candidate genes in South American rice germplasm. *Euphytica*, 197, 423–434. <https://doi.org/10.1007/s10681-014-1078-4>
- Pandi, H., Asadi Kapourchal, S., Vazifedoust, M., Rezaei, M., 2020. Simulation of rice yield and its components using SWAP model and remote sensing technology for optimal use of

- water and soil. Environment and Water Engineering, 6, 374–387. <https://doi.org/10.22034/jewe.2020.242119.1398>
- Piri, I., Khanamani, A., Shojaei, S., Fathizad, H., 2017. Determination of the best geostatistical method for climatic zoning in Iran. Applied Ecology and Environmental Research, 15, 93–103.
- Ranawake, A. L., Manangkil, O. E., Yoshida, S., Ishii, T., Mori, N., Nakamura, C., 2014. Mapping QTLs for cold tolerance at germination and the early seedling stage in rice (*Oryza sativa* L.). Biotechnology and Biotechnological Equipment. 28, 989–998. <https://doi.org/10.1080/13102818.2014.978539>
- Robinson, T.P., Metternicht, G., 2006. Testing the performance of spatial interpolation techniques for mapping soil properties. Computers and Electronics in Agriculture, 50, 97–108. <https://doi.org/10.1016/j.compag.2005.07.003>
- Saadat, M., Hasanlou, M., Homayouni, S., 2019. Rice crop mapping using sentinel-1 time series images (Case study: Mazandaran, Iran). The International Archives of the Photogrammetry, Remote Sensing and Spatial Information Sciences, XLII-4-W18, 897–904. <https://doi.org/10.5194/isprs-archives-XLII-4-W18-897-2019>
- Sarangi, S.K., Maji, B., Singh, S., Sharma, D.K., Burman, D., Mandal, S., Singh, U.S., Ismail, A. M., Haefele, S.M., 2016. Using improved variety and management enhances rice productivity in stagnant flood -affected tropical coastal zones. Field Crops Research. 190, 70–81. <https://doi.org/10.1016/j.fcr.2015.10.024>
- Selvaraj, M. G., Ishizaki, T., Valencia, M., Ogawa, S., Dedicova, B., Ogata, T., Yoshiwara, K., Maruyama, K., Kusano, M., Saito, K., Takahashi, F., Shinozaki, K., Nakashima, K., Ishitani, M., 2017. Overexpression of an *Arabidopsis thaliana* galactinol synthase gene improves drought tolerance in transgenic rice and increased grain yield in the field. Plant Biotechnol J., 15, 1465–1477. <https://doi.org/10.1111/pbi.12731>
- Sheng, J., Yu, P., Zhang, H., Wang, Z., 2021. Spatial variability of soil Cd content based on IDW and RBF in Fujiang River, Mianyang, China. Journal of Soils and Sediments, 21, 419–429. <https://doi.org/10.1007/s11368-020-02758-1>
- Singha, M., Sarmah, S., 2019. Incorporating crop phenological trajectory and texture for paddy rice detection with time series MODIS, HJ-1A and ALOS PALSAR imagery. European Journal of Remote Sensing. 52, 73–87.
- Suzuki, K., Nagasuga, K., Okada, M., 2008. The chilling injury induced by high root temperature in the leaves of rice seedlings. Plant & Cell Physiology, 49, 433–442. <https://doi.org/10.1093/pcp/pcn020>
- Torabi Golsefid, H., Givi, J., Karimian Eghbal, M. 2005. Land evaluation of paddy soils by FCC and parametric methods and their comparisons, in eastern Gilan Province. Pajouhesh-va-Sazandegi. 18, 28–31. [In Persian with English summary].
- Van Mierlo, C., Faes, M.G.R., Moens, D., 2021. Inhomogeneous interval fields based on scaled inverse distance weighting interpolation. Computer Methods in Applied Mechanics and Engineering, 373, 113542. <https://doi.org/10.1016/j.cma.2020.113542>
- Wan, Z., 2006. MODIS land surface temperature products users' guide. ICES, University of California Santa Barbara, CA, USA. 805, 7
- Wang, S., Huang, G.H., Lin, Q.G., Li, Z., Zhang, H., Fan, Y.R., 2014. Comparison of interpolation methods for estimating spatial distribution of precipitation in Ontario, Canada. International Journal of Climatology, 34, 3745–3751. <https://doi.org/10.1002/joc.3941>
- Wang, Z., Wang, J., Wang, F., 2009. Genetic control of germination ability under cold stress in rice. Rice Science, 16(3), 173–180. [https://doi.org/10.1016/S1672-308\(08\)60076-1](https://doi.org/10.1016/S1672-308(08)60076-1).
- Xiong, Q., Deng, Y., Zhong, L., He, H., Chen, X. 2018. Effects of drought-flood abrupt alternation on yield and physiological characteristics of rice. International Journal of Agriculture and Biology, 20, 1107–1116. <https://doi.org/10.17957/IJAB/15.0609>
- Xu, C., Qu, J. J., Hao, X., Zhu, Z., Gutenberg, L., 2020. Surface soil temperature seasonal variation estimation in a forested area using combined satellite observations and in-situ measurements. International Journal of Applied Earth Observation and Geoinformation, 91, 102156. <https://doi.org/10.1016/j.jag.2020.102156>

- Xu, J., Guga, S., Rong, G., Riao, D., Liu, X., Li, K., Zhang, J., 2021a. Estimation of Frost Hazard for Tea Tree in Zhejiang Province Based on Machine Learning. *Agriculture*. 11, 607. <https://doi.org/10.3390/agriculture11070607>
- Xu, J., Guga, S., Rong, G., Riao, D., Liu, X., Li, K., Zhang, J., 2021b. Estimation of Frost Hazard for Tea Tree in Zhejiang Province Based on Machine Learning. *Agriculture*. 11, 607. <https://doi.org/10.3390/agriculture11070607>
- Xu, S., Yang, X., Sun, R., Fu, S., Liang, H., Chen, L., 2018. Cold wave climate characteristics and risk zoning in Jilin Province. *Journal of Geoscience and Environment Protection*, 6, 38–51. <https://doi.org/10.4236/gep.2018.68004>
- Ye, T., Zong, S., Kleidon, A., Yuan, W., Wang, Y., Shi, P., 2019. Impacts of climate warming, cultivar shifts, and phenological dates on rice growth period length in China after correction for seasonal shift effects. *Climatic Change*, 155, 127–143.
- Yoshida, S., 1981. Fundamentals of Rice Crop Science. International Rice Research Institute. 1- 278.
- Yue, Y., Zhou, Y., Wang, J., Ye, X., 2016. Assessing Wheat Frost Risk with the Support of GIS: An Approach Coupling a Growing Season Meteorological Index and a Hybrid Fuzzy Neural Network Model. *Sustainability*. 8, 1308. <https://doi.org/10.3390/su8121308>